

## 论著·基础研究 doi:10.3969/j.issn.1671-8348.2021.06.005

网络首发 <https://kns.cnki.net/kcms/detail/50.1097.r.20210122.1427.024.html>(2021-01-25)

# TTLL12 过表达对口腔鳞癌 SCC-25 细胞株生物学特性的影响<sup>\*</sup>

曾艳,薛伶俐,方川,程维,李雅冬<sup>△</sup>

(重庆医科大学附属第一医院颌面外科 400016)

**[摘要]** 目的 检测微管蛋白酪氨酸连接酶类似物 12(TTLL12)过表达对人舌鳞癌 SCC-25 细胞株生物学特性的影响。方法 建立 TTLL12 稳定过表达的 SCC-25 细胞株,采用间接免疫荧光法和 Western blot 检测 TTLL12 在 SCC-25 细胞内的分布,MTT 检测沉默 TTLL12 对 SCC-25 细胞生长的影响,Boyden 小室侵袭试验检测沉默 TTLL12 对 SCC-25 细胞侵袭的影响,采用 SPSS10.0 软件包对数据进行统计学分析。结果 间接免疫荧光法和 Western blot 结果均显示 TTLL12 在细胞质、细胞核及细胞核膜均有分布。间接免疫荧光法结果显示  $\alpha$  微管蛋白 ( $\alpha$ -tubulin) 的分布与 TTLL12 重合。MTT 实验结果显示沉默组(沉默 TTLL12 基因的 SCC-25 细胞)的 SCC-25 细胞生长较对照组(未作任何处理的 SCC-25 细胞)受到明显抑制( $P < 0.05$ )。Boyden 小室侵袭实验结果显示沉默组的穿膜细胞百分比明显小于对照组( $P < 0.05$ )。结论 沉默 TTLL12 可有效抑制 SCC-25 细胞的生长和侵袭能力。

**[关键词]** 口腔肿瘤;癌,鳞状细胞;微管蛋白酪氨酸连接酶类似物 12;转染;生物学特性

**[中图法分类号]** R739.8      **[文献标识码]** A      **[文章编号]** 1671-8348(2021)06-0922-05

## Effects of overexpression of TTLL12 on the biological characteristics of oral squamous cell carcinoma SCC-25 cell line<sup>\*</sup>

ZENG Yan, XUE Lingli, FANG Chuan, CHENG Wei, LI Yadong<sup>△</sup>

(Department of Oral and Maxillofacial Surgery, the First Affiliated Hospital of Chongqing Medical University, Chongqing 400016, China)

**[Abstract]** **Objective** To detect the effect of overexpression of tubulin tyrosine ligase like protein 12 (TTLL12) on the biological characteristics of SCC-25 cell line. **Methods** The SCC-25 cell line with stable overexpression of TTLL12 was established. Indirect immunofluorescence and Western blot were used to detect the distribution of TTLL12 in SCC-25 cells. MTT assay was used to detect the effect of silencing TTLL12 on the growth of SCC-25 cells. The Boyden chamber invasion test was used to detect the effect of silencing TTLL12 on the invasion of SCC-25 cells. The data was analyzed by using SPSS10.0 software package. **Results**

The results of indirect immunofluorescence and Western blot showed that TTLL12 was distributed in the cytoplasm, nucleus and nuclear membrane. The results of indirect immunofluorescence showed that the distribution of  $\alpha$ -tubulin overlapped with TTLL12. The results of the MTT assay showed that the growth of SCC-25 cells in the silence group (SCC-25 cells that silenced the expression of TTLL12 gene) was significantly inhibited when compared with the control group (SCC-25 cells without any treatment),  $P < 0.05$ . The results of Boyden chamber invasion test showed that the percentage of transmembrane cells in the silence group was significantly lower than that in the control group ( $P < 0.05$ ). **Conclusion** Silencing TTLL12 can effectively inhibit the growth and invasion of SCC-25 cells.

**[Key words]** mouth neoplasms; carcinoma, squamous cell; tubulin tyrosine ligase like12; transfection; biological characteristics

\* 基金项目:重庆市科学委员会自然科学基金(cstc2018jcyJAX0763);重庆市卫生与计划生育委员会医学高端后备人才培养项目(2017HBRC004);2019年留创计划创新类资助入选项目(cx2019089)。作者简介:曾艳(1992—),住院医师,硕士,主要从事头颈肿瘤防治研究。

△ 通信作者,E-mail:llxxyydd2006@sina.com。

口腔鳞癌是头颈部肿瘤中最常见的恶性肿瘤之一<sup>[1]</sup>。虽然目前临床治疗口腔鳞癌的方法较多,但由于其易复发和转移<sup>[2-3]</sup>,在过去的几十年中,存活率仍没有得到明显的提高,且发病率还在逐年升高<sup>[4]</sup>。伴随着肿瘤发展并对邻近组织的侵袭,会严重影响患者的言语、进食、吞咽、呼吸等功能,从而大大降低患者的生存质量<sup>[5]</sup>。因此,临床迫切需要找到新的有效的治疗方法。

众所周知,癌症的生物学基础是抑癌基因的失活或原癌基因的激活,从而导致细胞不受控制的增殖和异常的凋亡,因此,癌症的发生和发展与原癌基因密切相关<sup>[6]</sup>。本课题组曾经报道,在头颈肿瘤中发现微管蛋白酪氨酸连接酶类似物 12(tubulin tyrosine ligase like 12, TTLL12)可通过阻碍硝基化酪氨酸与微管蛋白的结合,而促进头颈鳞癌的生长,具有潜在原癌基因的作用<sup>[7]</sup>。但目前,对于 TTLL12 在细胞内的分布尚不清楚,这为进一步深入研究 TTLL12 的作用机制造成了不小的障碍,本文将主要阐述近期本课题组的研究成果,以期为口腔鳞癌的治疗提供理论基础。

## 1 材料与方法

### 1.1 材料

人舌磷癌 SCC-25 细胞株由重庆医科大学中心实验室提供,培养液成分:伊格尔培养基、10% 小牛血清、1 mmol/L 丙酮酸钠、40 μg/mL 庆大霉素(美国 Sigma 公司)。激光共聚焦扫描显微镜(德国 Leica),CF15 型低温离心机(德国 Heraeus 公司)。四甲基偶氮唑蓝(MTT)、Boyden 小室、siRNA 及脂质体 Lipofectamine™2000(Sigma 公司),内参 TATA 结合蛋白(TATA-binding protein, TBP)抗体、TTLL12 抗体、β 微管蛋白(β-tubulin)抗体(美国 Sigma 公司),Na<sup>+</sup>/K<sup>+</sup>-ATPase α1 抗体(美国 Proteintech 公司),YG-875 型超净工作台、CO<sub>2</sub> 孵箱(美国 Bio-Rad 公司)。

### 1.2 方法

#### 1.2.1 建立 TTLL12 过表达的 SCC-25 细胞株

利用慢病毒将 TTLL12 cDNAs 转染入 SCC-25 细胞,筛选稳定高表达 TTLL12 的细胞株(过表达组),同时利用空质粒转染入 SCC-25 细胞,建立空白对照组。

#### 1.2.2 Western blot

收集细胞,PBS 清洗 2 遍,加入细胞裂解液,收集裂解产物,煮沸变性,行蛋白电泳,转硝酸纤维素膜,5% 的牛奶封闭 1 h,依次加入一抗,4 ℃ 孵育过夜,加二抗(辣根过氧化物酶标记鼠抗兔 IgG 抗体,1 : 1 000 稀释),室温下孵育 2 h,TBST 洗涤 3 次,每次 10 min 后,利用 DAB 显色试剂盒进行化学发光反应并拍照。用美国 BioRad 公司 Quantity One 系统进行灰度分析,以目的蛋白条带与内参蛋白条带的灰度值

比值为目的蛋白相对表达水平。

#### 1.2.3 间接免疫荧光法检测

待过表达组和空白对照组 SCC-25 细胞爬满玻片后,弃去培养液,用 100% 乙醇固定细胞,然后依次与一抗和二抗孵育 60 min。取出玻璃片,用滤纸吸去多余水分,滴加一滴甘油缓冲液(甘油和 pH7.4 PBS 液以 9 : 1 体积混合而成),再覆以盖玻片。荧光显微镜高倍视野下观察,判定结果。

#### 1.2.4 TTLL12 在 SCC-25 细胞内的分布检测

取稳定过表达 TTLL12 的 SCC-25 细胞株,PBS 清洗两遍,分别提取总细胞蛋白、细胞质蛋白、细胞核蛋白和细胞膜蛋白。加入细胞裂解液裂解细胞,收集裂解后产物,得到总细胞蛋白。室温下 1 000 r/min 离心 5 min,弃去上清液,轻弹管底,将离心管置于冰面,加入 600 μL 冷 bufferA,振荡 15 s,置于冰面 15 min,加 25 μL 10% NP40,振荡 5 s,置于冰面 10 min,在 4 ℃ 下 10 000 × g 离心 5 min,轻轻吸取上清液为细胞质蛋白,PBS 清洗 2 遍,在 4 ℃ 下 10 000 × g 离心 5 min,将离心管置于冰面,加 100 μL 冷 bufferC,反复振荡,在冰面上静置 40 min,在 4 ℃ 下 13 000 × g 离心 20 min,轻轻吸取上清液为细胞核蛋白,PBS 清洗 2 遍,获得细胞核膜蛋白。利用各组蛋白进行 Western 检测 TTLL12 的分布。

#### 1.2.5 沉默 TTLL12 在 SCC-25 细胞内的表达

将 1 × 10<sup>5</sup>/mL 浓度的 SCC-25 细胞接种于 24 孔培养板中,加伊格尔培养基,于 37 ℃,5% CO<sub>2</sub> 培养箱内培养,待细胞长至 70% 时,进行 siRNA 转染。参照 Lipofectamine™2000 试剂说明操作,干扰组 siTTLL12 序列:5'-GGU UGU UCG UGU AUG AUG U-3',转染空白对照序列的为对照组,转染 24 h 后,收集细胞,利用 Western blot 检测 TTLL12 的表达情况。

#### 1.2.6 四甲基偶氮唑蓝(MTT)法检测细胞增殖

将干扰组与对照组细胞制成单细胞悬液,接种到 96 孔培养板内,使每孔细胞数为 2 000 个,在 37 ℃ 的 CO<sub>2</sub> 孵箱中孵育,每 24 小时检测 1 次,共 9 d,检测前在每个孔内加入 MTT(5 mg/mL)10 μL,放入 CO<sub>2</sub> 孵箱中孵育 4 h,去上清液,每孔加入二甲基亚砜与 0.04 mol/L 盐酸的混合物 150 μL,震荡 1 h 后,再利用酶标仪在 570 nm 波长处比色,每次检测至少 6 个孔,最后取其平均值。

#### 1.2.7 Boyden 小室侵袭试验

将 Boyden 小室放入每孔加有 500 μL 含 10% 胎牛血清的 6 孔培养板中,Boyden 小室中加入 500 μL 不含胎牛血清的培养基,取浓度为 4 × 10<sup>5</sup>/mL 的各组细胞悬液 200 μL 加入 Boyden 小室,37 ℃ 孵育 4 h 后,取出 Boyden 小室,滤膜下层向上,PBS 洗涤,3% 戊二醛固定,苏木素染色,用棉花棒擦净小室滤膜上层未侵袭的细胞。使用倒置显微镜进行观察和拍照,

计算出穿过滤膜的细胞百分比。

### 1.3 统计学处理

采用 SPSS10.0 软件分析数据,计量资料以  $\bar{x} \pm s$  表示,组间比较采用 *t* 检验,以  $P < 0.05$  为差异有统计学意义。

## 2 结 果

### 2.1 TTLL12 在 SCC-25 细胞的表达分析

经 Western blot 检测结果显示过表达组 TTLL12 相对表达水平较空白对照组明显增强,证明 TTLL12 稳定高表达的 SCC-25 细胞株成功建立,见图 1。间接免疫荧光试验结果显示过表达组 SCC-25 细胞内有亮红色荧光,分布于细胞质、细胞核和细胞核膜,而空白对照组 SCC-25 细胞内仅有较暗、较浅的红色荧光,见图 2。间接免疫荧光试验结果还显示 TTLL12 与  $\alpha$ -tubulin 的分布重合,见图 3。

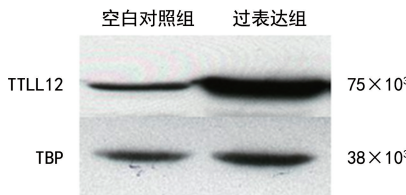
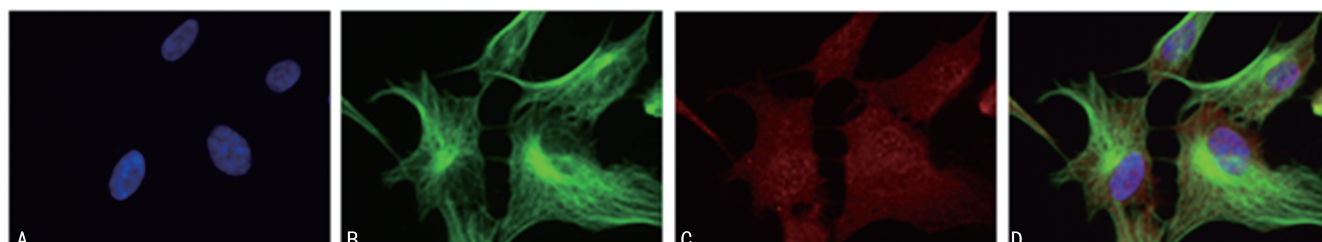


图 1 Western blot 检测 TTLL12 在 SCC-25 细胞的表达

### 2.2 TTLL12 在细胞内的分布

Western blot 结果显示在细胞总蛋白中,



A:细胞核;B: $\alpha$ -tubulin;C:TTLL12;D:重合。

图 3 间接免疫荧光法检测  $\alpha$ -tubulin 和 TTLL12 的分布(800 $\times$ )

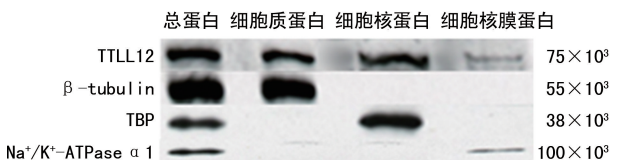


图 4 Western blot 检测 TTLL12 在 SCC-25 细胞中的分布

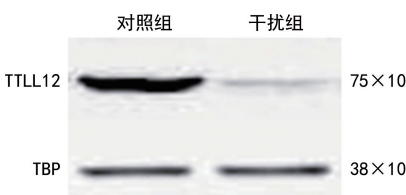
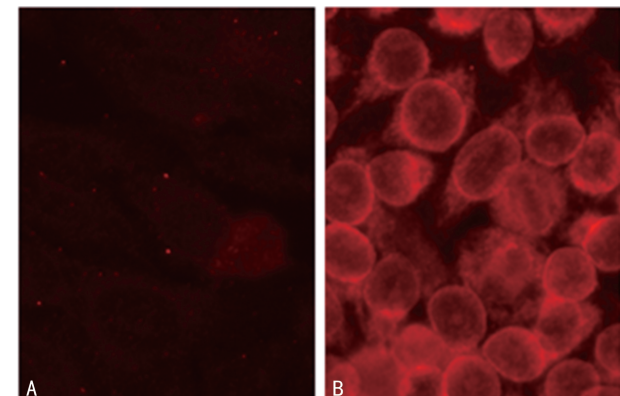


图 5 干扰 TTLL12 在 SCC-25 细胞内的表达

### 2.4 干扰 TTLL12 对 SCC-25 细胞生长的影响

MTT 法检测 SCC-25 细胞生长的情况,结果表明,干扰组 SCC-25 细胞的生长较对照组受到明显抑

制( $P < 0.05$ ),见图 6。



A:空白对照组;B:过表达组。

图 2 间接免疫荧光实验检测 TTLL12 蛋白在各组 SCC-25 细胞中的表达(200 $\times$ )

### 2.3 干扰 TTLL12 在 SCC-25 细胞内的表达

利用 siRNA 沉默 TTLL12 的表达,经 Western blot 检测结果显示干扰组 TTLL12 蛋白较对照组降低,见图 5。

制( $P < 0.05$ ),见图 6。

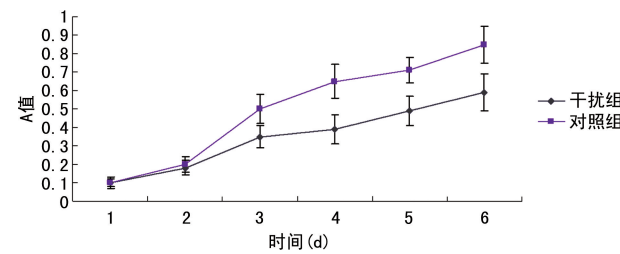


图 6 SCC-25 生长曲线

### 2.5 干扰 TTLL12 对 SCC-25 细胞侵袭的影响

Boyden 小室侵袭试验结果表明,干扰组穿过滤膜的细胞百分比为(31±2)%,对照组穿过滤膜的细胞百分比是(56±5)% ,干扰组 SCC-25 细胞穿过滤膜的细胞百分比较对照组明显减少,差异有统计学意义( $P < 0.05$ ),见图 7。

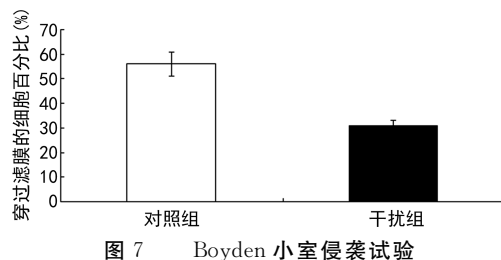


图 7 Boyden 小室侵袭试验

### 3 讨 论

口腔鳞癌的发生发展是一个逐级进行的复杂生物学过程,其中,原癌基因的过表达在肿瘤的发生发展中扮演着重要的角色<sup>[8]</sup>。笔者曾经报道在头颈鳞癌中,TTLL12 具有潜在原癌基因的作用<sup>[7]</sup>。近年,有学者发现 TTLL12 在肺腺癌、结肠腺癌、直肠腺癌、前列腺癌和肺癌中表达明显升高,并与患者的不良预后密切相关( $P < 0.05$ )<sup>[9-12]</sup>。还有一些学者发现 TTLL12 与人体免疫有关,例如 PENG 等<sup>[13]</sup>发现,和 HIV 阴性的健康人比较,TTLL12 在 HIV 阳性患者中的表达升高,表明 TTLL12 可能与先天免疫调节,免疫缺陷综合征的疾病进展和 HIV-1 复制相关。JU 等<sup>[14]</sup>发现 TTLL12 可以抑制抗病毒的 RIG-I 通路活性,从而增强 RNA 病毒在细胞内的复制能力,LORENZ 等<sup>[15]</sup>发现在发生急性闭角型青光眼后的 0~12 周,TTLL12 在患者的血清中的表达呈线性增长趋势。

根据目前的研究成果可知,TTLL12 具有 SET 和 TTL 结构域,而 TTLL12 的 TTL 结构域缺少其他家族成员所保留的 7 个基序中的 3 个。TTLL12 的 TTL 结构域可能与 TTLL12 参与微管修饰功能有关<sup>[16-17]</sup>。有研究认为在真核细胞的进化过程中,TTLL12 的 SET 结构域可能对异染色质和常染色质的形成起到非常重要的作用<sup>[18]</sup>。另外,TTLL12 高表达会导致 H4K20 表达升高,很可能与 TTLL12 的 SET 结构域有关<sup>[17,19]</sup>。但 TTLL12 在细胞内的分布及生物学功能尚不清楚。

了解和掌握 TTLL12 在细胞中的分布,对进一步研究 TTLL12 的功能至关重要,因此,本研究利用间接免疫荧光法和 Western blot 率先证实 TTLL12 主要分布在细胞质、细胞核及细胞核膜,细胞质内的  $\alpha$ -微管蛋白与 TTLL12 的分布一致,这一结果很好地解释了 TTLL12 的已知功能。笔者前期实验证实 TTLL12 会干扰硝基化酪氨酸与微管蛋白的结合。在真核细胞中,  $\alpha$ -tubulin 主要分布在细胞质内,参与形成细胞骨架、维持细胞形态、细胞移动、细胞内各种物质的运输及细胞的分裂等,与细胞的正常生命活动密切相关。硝基化酪氨酸与  $\alpha$ -tubulin 结合,形成硝基化酪氨酸微管蛋白,影响微管的功能,导致细胞凋亡。TTLL12 可能利用 TTL 结构域的微管蛋白酪氨酸连接酶活性,与细胞质中的  $\alpha$ -tubulin 结合,从而阻

碍了硝基化酪氨酸与  $\alpha$ -tubulin 的结合,最终促进头颈鳞癌的生长<sup>[7]</sup>。分布在细胞核和细胞核膜的 TTLL12 很可能与染色体数量明显增多<sup>[17]</sup>, H4K20 表达升高<sup>[19]</sup>, HIV-1 复制<sup>[13]</sup>有关,而这些功能很可能与 TTLL12 的 SET 结构域有关。由此可见,搞清楚了 TTLL12 的分布,可以更好地理解 TTLL12 的各种功能,同时也为下一步研究奠定了良好的基础。

另外,在沉默 TTLL12 的表达后,本研究利用 MTT 试验和 Boyden 小室侵袭试验检测细胞生长和侵袭能力的变化,结果表明沉默 TTLL12 会导致 SCC-25 细胞生长变慢,侵袭能力变弱。这说明沉默 TTLL12 可有效抑制 SCC-25 细胞的生长和侵袭,其原因可能是,沉默 TTLL12 后,阻断了 TTLL12 对微管的影响作用。微管与细胞周期和细胞移动密切相关<sup>[20-21]</sup>,在细胞间期时,  $\alpha$ -tubulin 聚合形成微管,形成细胞内的网架结构,当细胞进入分裂期时,核膜分解,  $\alpha$ -tubulin 解聚,然后重新聚合形成纺锤体,并引导染色体运动,在分裂末期,纺锤体又会发生解聚,重新形成细胞质内的网架结构,核膜重新形成。当细胞移动时,会发生形状改变,伪足形成,这些都需要微管的参与<sup>[22]</sup>。在沉默 TTLL12 后,TTLL12 对微管的作用也会消失,从而导致细胞生长变慢,侵袭能力变弱。TTLL12 在核膜也有分布,这或许影响了有丝分裂时的核膜分解和形成。但其具体作用机制尚需进一步研究。

综上所述,TTLL12 分布于细胞质、细胞核及细胞核膜。由于其分布较广,TTLL12 很可能还有一些其他功能尚未发现,需进一步研究。沉默 TTLL12 会导致 SCC-25 细胞生长变慢,侵袭能力变弱。因此,TTLL12 有望作为治疗口腔鳞癌的靶点之一。

### 参 考 文 献

- [1] BAO X, LIU F, LIN J, et al. Nutritional assessment and prognosis of oral cancer patients: a large-scale prospective study[J]. BMC Cancer, 2020, 20(1):146.
- [2] TIAN T, ZHANG L, TANG K, et al. SEMA3A exon 9 expression Is a potential prognostic marker of unfavorable recurrence-free survival in patients with tongue squamous cell carcinoma[J]. DNA Cell Biol, 2020, 39(4):555-562.
- [3] LI Y Y, TAO Y W, GAO S, et al. Cancer-associated fibroblasts contribute to oral cancer cells proliferation and metastasis via exosome-mediated paracrine miR-34a-5p [J]. EBioMedicine, 2018, 36:209-220.
- [4] Global Burden of Disease Cancer Collaboration, FITZMAURICE C, ALLEN C, et al. Global, re-

- gional, and national cancer incidence, mortality, years of life lost, years lived with disability, and disability-adjusted life-years for 32 cancer groups, 1990 to 2015: a systematic analysis for the global burden of disease study [J]. *JAMA Oncol*, 2017, 3(4):524-548.
- [5] GOSWAMI S, GUPTA S S. How cancer of oral cavity affects the family caregivers? A cross-sectional study in Wardha, India, using the Caregiver Quality of Life Index-Cancer questionnaire [J]. *South Asian J Cancer*, 2020, 9(1): 62-65.
- [6] FLAM E L, DANILOVA L, KELLEY D Z, et al. Differentially methylated super-enhancers regulate target gene expression in human cancer [J]. *Sci Rep*, 2019, 9(1):15034.
- [7] 李雅冬, 张劲松, 杨凯, 等. 微管蛋白酪氨酸连接酶类似物 12 通过干扰微管蛋白酪氨酸硝基化促进 Hep-2 细胞生长 [J]. *中国生物化学与分子生物学报*, 2012, 28(8):728-732.
- [8] ALI J, SABIHA B, JAN H U, et al. Genetic etiology of oral cancer [J]. *Oral Oncol*, 2017, 70: 23-28.
- [9] SANADA H, SEKI N, MIZUNO K, et al. Involvement of dual strands of miR-143 (miR-143-5p and miR-143-3p) and their target oncogenes in the molecular pathogenesis of lung adenocarcinoma [J]. *Int J Mol Sci*, 2019, 20(18): 4482.
- [10] LIU J, LI H, SHEN S, et al. Alternative splicing events implicated in carcinogenesis and prognosis of colorectal cancer [J]. *J Cancer*, 2018, 9(10):1754-1764.
- [11] WEN R, XIAO Y, ZHANG Y, et al. Identification of a novel transcript isoform of the TTLL12 gene in human cancers [J]. *Oncol Rep*, 2016, 36(6):3172-3180.
- [12] MASSONER P, LUEKING A, GOEHLER H, et al. Serum-autoantibodies for discovery of prostate cancer specific biomarkers [J]. *Prostate*, 2012, 72(4):427-436.
- [13] PENG X, SUN T, YAO P, et al. Differential expression of innate immunity regulation genes in chronic HIV-1 infected adults [J]. *Cytokine*, 2020, 126:154871.
- [14] JU L G, ZHU Y, LEI P J, et al. TTLL12 inhibits the activation of cellular antiviral signaling through interaction with VISA/MAVS [J]. *J Immunol*, 2017, 198(3):1274-1284.
- [15] LORENZ K, BECK S, KEILANI M M, et al. Course of serum autoantibodies in patients after acute angle-closure glaucoma attack [J]. *Clin Exp Ophthalmol*, 2017, 45(3):280-287.
- [16] LI H, HUANG Y, YU Y, et al. Self-catalyzed assembly of peptide scaffolded nanozyme as a dynamic biosensing system [J]. *ACS Appl Mater Interfaces*, 2016, 8(4):2833-2839.
- [17] WASYLYK C, ZAMBRANO A, ZHAO C, et al. Tubulin tyrosine ligase like 12 links to prostate cancer through tubulin posttranslational modification and chromosome ploidy [J]. *Int J Cancer*, 2010, 127(11):2542-2553.
- [18] ARAVIND L, ABHIMAN S, IYER L M. Natural history of the eukaryotic chromatin protein methylation system [J]. *Prog Mol Biol Transl Sci*, 2011, 101:105-176.
- [19] BRANTS J, SEMENCHENKO K, WASYLYK C, et al. Tubulin tyrosine ligase like 12, a TTLL family member with SET- and TTL-like domains and roles in histone and tubulin modifications and mitosis [J]. *PLoS One*, 2012, 7(12): e51258.
- [20] LOIODICE I, JANSON M E, TAVORMINA P, et al. Quantifying tubulin concentration and microtubule number throughout the fission yeast cell cycle [J]. *Biomolecules*, 2019, 9(3): 86.
- [21] LEE C C, CHENG Y C, CHANG C Y, et al. Alpha-tubulin acetyltransferase/MEC-17 regulates cancer cell migration and invasion through epithelial-mesenchymal transition suppression and cell polarity disruption [J]. *Sci Rep*, 2018, 8(1):17477.
- [22] PELLEGRINI F, BUDMAN D R. Review: tubulin function, action of antitubulin drugs, and new drug development [J]. *Cancer Invest*, 2005, 23(3):264-273.